

大陆与大洋的重力异常 及其对大地构造的意义

(苏联以外各国重力测量概论)

П. Н. 克魯泡特金

Е. Н. 留斯吉赫

Н. Н. 鮑瓦罗-什維柯夫斯卡娅

科学出版社

大陆与大洋的重力异常及其 对大地构造的意义

П. Н. 克魯泡特金 Е. Н. 留斯吉赫
Н. Н. 鮑瓦罗-什維柯夫斯卡婭

刘光鼎譯

科学出版社

1963

АНОМАЛИИ СИЛЫ ТЯЖЕСТИ
НА МАТЕРИКАХ И ОКЕАНАХ
И ИХ ЗНАЧЕНИЕ ДЛЯ ГЕОТЕКТОНИКИ

Издательство Московского Университета
1958

内 容 简 介

本书是作者综合苏联以外各国重力测量资料而写成的，书中首先具体地阐述了综合整理广大地区重力资料的工作方法，然后概括地描述了世界上各大陆及邻近海洋区内重力异常分布情况，并附有五幅各大陆及邻近海洋区的重力异常图；最后，作者根据综合资料提出了一幅地壳构造图和下列几点结论：(1)世界重力异常分布与地壳发展基本规律间的联系，(2)地壳的弯曲及其分裂造成分异物从深处升起所沿的通道，(3)整个大陆块生长与岩石圈花岗岩形成的过程是地槽系的发生与发展、褶皱作用与火山作用的迁移以及地槽区逐渐转化为地台的综合结果等。书中附图在目前是可贵的资料。

本书可供从事地球物理、大地构造研究人员和有关教学人员参考。

大陆与大洋的重力异常及其
对大地构造的意义

П. Н. 克魯泡特金等著

刘光鼎 譯

*

科学出版社出版 (北京朝阳门大街 117 号)
北京市书刊出版业营业登记证字第 061 号

中国科学院印刷厂印刷 新华书店总经售

*

1963 年 8 月第一版 书号：2768 字数：56,000
1963 年 8 月第一次印刷 开本：850×1168 1/32
(京) 0001—1,650 印张：2 1/4 插页：6

定价：0.50 元

譯者的話

这本书的篇幅不大，但其內容却很有意义；因为它是作者（П. Н. 克魯泡特金，Е. Н. 留斯吉赫与 Н. Н. 鮑瓦罗-什維柯夫斯卡娅）用长期劳动綜合大量实际觀測資料的成果。书中所附的各大陸及邻近海洋的重力异常图，虽然还有待于最新資料的补充和丰富，但它們在当前无疑是十分珍貴的資料。

通过本书及其附图，可以使我們了解到世界各地区的重力工作和成果，也可以使我們了解到当前重力測量发展的水平及其趋向。具有实际意义的是，这本书具体地闡明了綜合整理广大地区內重力資料的工作方法。

現代地質科学中，地壳深部构造的研究占有很重要的地位。本书則通过具体的世界重力場分布的情况闡述了重力异常与地壳构造之間的联系。譯者相信，书中所給出的資料以及討論，一定会引起我国地質学家与地球物理学家的兴趣。

为了讀者查閱时的方便，在譯文中将第一次出現的人名譯出，并附上原文（俄文或英文）；书中的地名，则采用我国地图出版社1958年出版的世界地图集上所用的名字；而对于地图集中沒有地名，则采用譯音的方法譯出，并将原文附上。

感謝強祖基同志从苏联将这本书带回来，并再三督促譯者，使它和讀者見面。只是譯者水平有限，譯文中的錯誤与不当之处，尚請讀者指出，以便改正。

刘光鼎 1962.5. 北京

目 录

譯者的話.....	iv
緒言.....	1
第一章 重力異常与地殼構造.....	11
第二章 歐洲与地中海.....	27
第三章 亞洲及其相鄰的海盆地.....	34
第四章 非洲、西亚部分与馬达加斯加島	39
第五章 北美与南美(附邻近海盆地).....	44
第六章 澳洲与大洋.....	48
結論.....	51
参考文献.....	61

緒 言

最近 10—20 年間，在所有大陸地區廣泛地開展起來的重力調查，正用來測定地球形狀、勘探礦產（尤其是在石油地質學方面），以及繪製理論性的大地構造圖幅。這些問題在蘇聯和其他國家根據 1957—1958 國際地球物理年計劃所進行的研究中占有重要的地位。不過，儘管積累起來的重力測量資料已經十分豐富，然而，直到現在却還未能將這些資料綜合成大陸地區的布格重力圖。

在本書中，我們企圖彌補這個空白點，即將 1956 年以前大多分散發表在各種地質與地球物理出版物中的世界各國資料綜合成布格重力圖。這些資料大半是蘇聯讀者很少了解的。這樣做可以判斷蘇聯以外各國現代科學在重力測量領域中的發展水平，還可以比較重力異常與地震學所得的地殼厚度資料，以及在新構造研究結果中所得到的晚第三紀與第四紀期間地殼各處隆起與沉陷的資料，從而導出關於地殼構造的某些結論。

注意到這項工作不僅對於地球物理學家，而且對地質專業的廣大工作者都是很有意義的，我們希望首先使讀者回憶一下某些重力測量的一般原理。

測量得到的重力加速度值對於某種由理論觀點所確定的標準值的偏差，稱為重力異常。將實際觀測到的重力場與假定地球為簡單模型所計算出的理論場進行比較。根據這兩種場的差別，可以判斷出真實地球不同於給定的理論模型有多少。有幾種建造理論地球的方法，因而不得不劃分出幾種重力異常。為了能比較重力加速度的觀測值與理論值，就必須將它們都換算到空間的同一個點上。為此，或者將觀測值換算到海平面上，或者計算出觀測點上的理論值。在這兩種情況下，將得到同樣的異常值。然而，已經證明（留斯吉赫，1947）：應用第二種方法能夠比較正確地闡明異

常的意义。所以，我們將重力異常定為在此點上的觀測重力加速度值與其理論值之差。

最簡單的理論模型是假定在包括表面地層的整個地球體內，完全沒有切線(剪)應力的作用。很容易證明，在這種“理想地球體”中，應該認為物質好象處於液體狀態。因此，理想地球的形狀就如同旋轉液體行星的平衡形狀。此時，它是密度向中心增加的扁球體。理論上對理想地球面所確定的重力加速度，稱為正常值，其計算應根據所謂正常公式

$$\gamma_0 = \gamma_c (1 + \beta \sin^2 \varphi - \beta_1 \sin^2 2\varphi)$$

進行。此處 φ 為緯度， γ_c 為赤道上的正常重力加速度， β 與 β_1 為常數。在扁球體上(差不多就是在海平面上) h 高度處，重力加速度減小為 $\delta_F = 0.3086 h$ 值(如果 h 用米表示，則 δ_F 用毫伽表示)。這樣，在 h 高度上，理想地球的理論重力加速度值等於

$$\gamma_F = \gamma_0 - \delta_F,$$

校正 δ_F 稱為法伊(Фай)校正，或自由空氣校正，因為在理論地球上，觀測點與海平面之間不能假想有任何質量存在，而且觀測點好象懸在空氣之中(圖 1,r)。從觀測值 g 中減去重力加速度的理論值，我們求得法伊異常(或“自由空氣”異常)

$$\Delta_F g = g - \gamma_F = g - \gamma_0 + \delta_F.$$

根據圖 1，很容易理解法伊異常的地質意義。在圖 1a 的垂直剖面中用圓圈符號表示的觀測點附近有不同密度的質量分布。從地質觀點出發，密度 D 的任何實際質量都最好表示成“正常質量”(即具有正常密度 D_0 的質量¹⁾)與正密度或負密度 $\Delta D = D - D_0$ 的異常質量之和。對於我們這個實例來說，正常質量表示於圖 1b 中。其引力只與地區的地形有關；這種抽象而單調的質量正是地質學家所不感興趣的一般背景。在圖 1b 中表示出來的異常質量是最有意義的。它們好象着重指出在地層密度上的個別差異。地質學家希望重力異常只反映出一些單獨異常質量的引力作用。在

1) 將地殼表層的平均密度稱為正常密度，在本書中取 $D_0 = 2.67$ 克/厘米³。

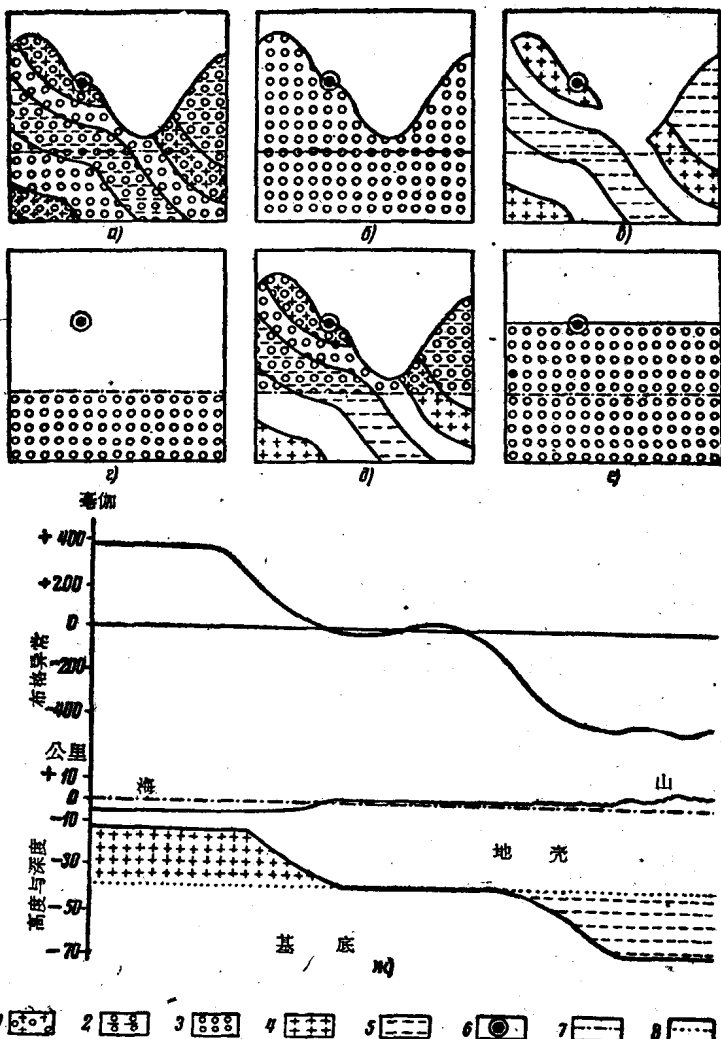


图 1 真实质量、正常质量与异常质量(剖面—垂直剖面图)。

可以最明确表示出校正与异常特点的质量分布的理論簡图。

1—高密度质量； 2—低密度质量； 3—正常密度的质量；

4—正异常的质量； 5—负异常的质量； 6—观测点；

7—海平面； 8—基底(地壳底面)的正常水平。

我們這個剖面的範圍內，理想地球質量的位置表示如圖 1Γ（我們認為此質量具有正常密度）。從 g 中減去 γ_F ，就好象從 1a 中減去 1Γ 一樣。計算結果所剩餘下來的質量表示於圖 1Δ 中；就是這種質量的引力造成法伊異常。我們看出，在這種異常中恰好保持了全部正常質量中受區域地形所決定的那部分影響。事實上只要比較彼此相隔不太遠的法伊異常點，就能夠說明地形的強烈影響，尤其是在山區內。這種異常與大地構造的聯繫，在很大程度上決定於地貌和大地構造的聯繩，以致於使研究者感到迷惑。因此，最好從異常中去掉與地形有關的正常質量的影響。

為此，必須將正常質量包括於理論簡圖中去，即如同在理想地球（圖 1Γ）上恢復實際地形，並填以正常質量；結果使理論地球獲得如圖 1δ 所示的形狀。為了計算理論重力值，必須對正常重力值分別加上正常密度的地形引力。現在從重力加速度的觀測值中減去其理論值，我們才能求得只反映異常質量引力的異常（圖 1β），這也是所要求的。然而，還有一種應該去掉其影響的異常質量，那就是水盆地中的、特別是在海中的異常質量。用 D_w 表示海水的密度，我們得到海洋的異常密度為

$$\Delta_w D = D_w - D_0.$$

將 $D_w = 1.03$ 克/厘米³, $D_0 = 2.67$ 克/厘米³ 代入，我們求得 $\Delta_w D = -1.64$ 克/厘米³。如此巨大異常密度的巨大質量應該對重力異常有特別強烈的影響。但是，這種影響對於分析異常並沒有意義，因為我們對於水盆地及無水盆地的輪廓已經了解得十分清楚了。为了避免這種影響，在理論地球上恢復起陸地的地形，再恢復起為水所填充的海洋盆地也就夠了。於是，理論地球與實際地球之間的差別將只決定於真實地球的地質不均勻性，而這一點恰是地質學家所要求的。

消除地形引力與水盆地影響（即用水來代替理想地球的表層）的校正，我們稱為地形校正。根據上述各點的全部意義，進行地形校正時，應該考慮到整個地球的地形。然而，經驗證明，進行這種“一般性”的地形校正總是導致常常與觀測點地區的表層構造及

深部构造完全无关的巨大异常。可以指出造成这种现象的两个原因。第一，理论地球的质量与真实地球的质量十分不同，以致重力的理论值与观测值在各处都有显著的偏差。这种偏差可以引用相应的校正（“马勒金校正”）来消除。但是，进行这种校正之后，还剩下量级为几百毫伽的异常。第二，在每个观测点上都混杂有整个地球的全部异常质量的影响，而最近质量的影响却远不是总起着主要影响的。这一点表明：进行一般性地形校正会造成整个地面以下的巨大异常质量的表现。换句话说，各处都发现真实地球与理论地球的显著差别。

应该注意到，大部分法伊异常较一般地形异常要弱很多；特别奇怪的是在半径为几百公里范围内进行过平均的法伊异常（叶戈洛维奇，1952）在各处都不大（不超过几十毫伽），并且还没有发现它与地形高度有关（留斯吉赫，1954）。因此，不得不作出这样的结论：真实地球在其内部状态上更接近于理想地球的平衡图案，而较少地接近于和地形校正相当的没有任何平衡的图案。

然而，比较图16与图1Г，可以看出：理想地球的内部（陆地上低于海平面，海洋中低于大洋底）在这两种情况中完全相同。因此，进行一般性地形校正时所发现的巨大异常质量也应该对法伊异常有影响。而事实上，这种影响却是没有的。对于这个矛盾的解释只能是：在法伊异常中，这种异常质量的影响被地形的正常质量（图1Д）与海水的异常质量抵消掉；于是，地形校正补偿掉地形和海水的影响。由此导出，地壳构造在一般特点上服从于均衡原则：深部轻质量的积聚相当于隆起，而大洋盆地下面分布着比大陆更重的物质。下面将要指出，这种现象已为地震资料证实。

这种有利的情况给出解决下列问题的可能，虽然这是很近似的解答，但根据其它方法却几乎是不可能解决的。这个问题是：从地球所有的异常质量的影响中区别出观测点附近质量的影响。考虑到远处质量的引力一般表现为平均的与综合的影响，可以期望，地形的和异常质量（“补偿”）的互相补偿将非常完整。事实上正如经验所指出，远处地形与远处异常质量的共同作用，至少要比每个

这种因素的单独作用小 10 倍。根据这一点，我們往往可以一般地以一級近似地忽略掉这些因素的作用，从而不再对远处影响进行任何校正。当然，近处地形的影响还是應該考慮的。

在这种情况下，應該将理論地球看成为只在觀測点附近恢复起真实地形（图 16）与水質量的理想地球。对不同的觀測点作出不同的理論地球。相应于正常重力的校正可称为区域地形校正或局部地形校正。为了方便，我們簡單地称它为地形校正。在这种意义上，考慮到質量隆起的引力时，地形校正为正；而对水盆地的质量不足时，它为負。我們将这样求得的重力加速度的觀測值与理論值之間的差別称为地形异常。可以認為地形异常差不多純粹反映出觀測点地区中异常质量的引力（图 1B）。对于我們的要求來說，这种看法具有充分的精度。

如果用 δ_t 表示地形校正，则相应的理論重力加速度值表示为

$$\gamma_t = \gamma_0 - \delta_F + \delta_t.$$

由此我們求得地形异常 $\Delta_t g$ 为

$$\Delta_t g = g - \gamma_t = g - \gamma_0 + \delta_F - \delta_t. \quad (1)$$

計算地形异常需要花費大量的時間与劳动，并且要求有良好的制图資料。因此，实际上并不是总都可以进行这种計算的。在許多情況下，不得不采用簡化的計算方法：将地形或水层假想成无限平行的平面在水平方向的夹层，并假設此层厚度 h 等于海平面上觀測点的高度或觀測点下海水的深度。大家都知道，这个平行层的引力可以表示如公式

$$\delta_B = 2\pi f D h, \quad (2)$$

此处 f 为引力常数（牛頓常数）， D 为平行层的密度。显然，在陆地上應該将 $D = D_0$ 代入此公式，而在海洋上应将 $D = \Delta_w D$ （深度 h 应認為是正的）代入此公式。

将代替地形校正的校正 δ_B 称为布格校正¹⁾，而相应的异常称为布格异常。和公式(1)相似，布格异常应根据下列公式計算

1) 时常将此校正与法伊校正一起称为布格校正。

$$\Delta_B g = g - \gamma_0 + \delta_F - \delta_B.$$

布格异常的理論地球表示于图 1e。布格异常与地形异常的差別很小；在較平緩的地区內甚至于和地形异常重合。在切割状地形的地区內，地形的差別比較显著，但异常重力場的一般性質却仍旧相似。在我們編制的图件中，只要原始資料已經給出地形异常值或地形校正值时，我們就都使用地形异常。在其它情况下，我們尽量使用布格异常，虽然它的精度較低¹⁾。

后面将会指出，区域布格（与地形）异常主要决定于矽鋁地壳的厚度。地壳底部为地震波速度发生显著变化的莫霍洛維奇 (Mohorovičić) 界面（或簡称为莫氏界面——譯者）。根据一般的看法，此处还應該有最显著的密度跃变发生，因为地壳下面鋪着很重的基底。在理想地球（以及在地形异常的理論地球）中，地壳底部假定为水平的（正如所有其它密度界面一样），而且各处的地壳都有相同的“正常”厚度。在实际地壳厚度不同于正常厚度的那些地方，必然出現异常質量和与之相应的地形（布格）异常。这种情况表明于剖面簡图（图 1x）中，此图上部給出布格异常曲綫，下部表示出地壳构造。左边是由凸起于正常平面以上的重基底所形成的正异常質量（与布格正异常）。在地壳中部具有“正常”的厚度，异常接近于零。右边莫氏界面沉陷下去，于是部分正常水平以下的基底为較輕的地壳所代替，因而造成負的异常質量与負的布格异常。区域性法伊异常（这种异常的平均水平）可能在各处都接近于零，因为异常質量的作用可能为左边海盆地的影响与右边山区的影响所抵消。在布格异常中，这些因素的影响都被去掉，因此，

1) 原书編者注：苏联与西欧通常并不采用本书这几位作者所闡述并使用的这种校正与异常。在苏联的重力工作中，通常依下列顺序进行校正：在重力加速度的觀測值 g 中加入法伊校正与布格校正。此时，根据法伊法的 g'_0 或布格法 g''_0 取得換算到海平面的重力加速度值。从 g'_0 或 g''_0 中計算出正常加速度值 γ_0 ，并求得相应的法伊异常 $\Delta g'$ ，或布格异常 $\Delta g''$ 。如果說本書作者所使用的异常校正的順序是将每个异常都換算到完成测定重力加速度的高度上，则在苏联所使用的順序就是将所有各点上的异常都換算到海平面上。如果在苏联所采用的順序中，不是通常所作的那样，即不去計算垂直梯度的异常，则在这两种情况中所得到的异常值是相同的。

布格异常曲綫（或地形异常曲綫）近似地重复着地壳底面的剖面（当然，异常曲綫与地壳底面剖面的单位应不同）。

應該考慮到，在地壳中还有其它分界面和許多区域不均匀性存在，所以，上述对应关系不可能是精确的。然而，我們下面将会看到，地震資料已經証实：在整个地球上，这种对应关系一般地都相当稳定地持續着。

如果用毫伽表示 δ_B ，用米表示 h ，則公式(2)变成形式

$$\delta_B = 0.0419Dh.$$

在我們所应用的全部原始資料中，取正常密度为 2.67 克/厘米³，海水密度为 1.03 克/厘米³。由此，对于陆地來說，将 $D = 2.67$ 代入，我們得到

$$\delta_W = 0.1119h.$$

对于海洋來說，将 $\Delta_B D = -1.64$ 代入，得出

$$\delta_B = -0.0687h.$$

所有外国的研究著作中，以及不久前 Э. Э. 弗及阿吉(Фотиади)发表的苏联欧洲部分与西西伯利亚重力图(1955)中，都采用 1930 年的国际标准公式：

$$\gamma_0 = 978.049(1 + 0.0052884\sin^2\varphi - 0.0000059\sin^22\varphi).$$

对我們的图幅我們也采用这个公式。在应用根据 1901 年亥勒米尔特(Гельмерт)正常公式計算的資料时，我們使用換算到国际标准公式的相应校正。

我們所編繪的重力总图是将等异常綫（即相等重力异常值的綫）从已經发表过的图件上移来，或者根据文献中已有許多点的异常計算值或原始資料(緯度 φ 、海平面以上的高度 h 。觀測重力值 g)，用內插法求得。在西北非洲有 80 个点缺少高度資料，已知每个点的位置，我們就用最新地图来近似地測定 h 值。在某些情况下，还应用补充的觀測点检验过以前发表的图件。總計起来，我們应用过 50 张以上的各国单独重力图，并用 5000 个以上的觀測点补充过这些图件。

在測网很稀疏时，內插法（在一些情况下在不大的距离上使

用外推法)不能給出十分可靠的資料,我們就用虛線來画出相应的等值綫。在作虛線的等值綫时,考慮到布格异常与地形的联系,即使等值綫多多少少地平行于地形等高綫。等值綫用自正异常向負异常方向的細綫条来画(或者,一般地說,自大的代数值向小的代数值来画)。

南亚与东亚、非洲、北美与南美的重力总图的比例尺为1:25000000, 西欧的比例尺为1:20000000。

用点状虛綫来表示重力研究地区的边界。

大陆重力图上等异常綫的間距在-200到+200毫伽范围内为50毫伽, 絶對值超过200毫伽的异常用100毫伽的間距表示。这样, 在这些图幅上做出下列等异常綫: 正值为 ± 50 、 ± 100 、 ± 150 、 ± 200 、 ± 300 、 ± 400 毫伽; 零值为 ± 0 毫伽; 負值为-50、-100、-150、-200、-300、-400、-500毫伽。因此, 在这些图幅上給出15級的异常值。

为了避免重复, 在这本小册子中沒有包括本书作者之一在不久前发表的世界重力图(克魯泡特金, 1956)。在这幅比例尺为1:80000000的图件上, 全部重力异常級只有八个: 1) -500毫伽以下; 2) 自-500到-300毫伽; 3) 自-300到-150毫伽; 4) 自-150到-50毫伽; 5) 自-50到+50毫伽; 6) 自+50到+150毫伽; 7) 自+150到+300毫伽; 8) +300毫伽以上。这样, 在这幅世界重力图中, 等异常綫的間距在自-150到+150毫伽范围内为100毫伽, 在此范围以外为150—200毫伽。

研究这幅图很容易看出: 微弱的正异常場与微弱的負异常場(自-50到+50毫伽)占据欧洲、亚洲与美洲的低地与不高平原的大部分。

自微弱的正异常向微弱的負异常过渡的地区, 时常决定于表层密度中的差別(疏松沉积岩的积聚等)或地台褶皺基底中基性侵入体的存在等因素。在重力异常总情况中出現的較显著变化, 其重力异常极限值相差达1000毫伽(自西藏高原与帕米尔高原的-550毫伽到大洋深部的+450毫伽), 并与另一些較一般性的原

因有关，即与地壳的深部构造有关。这个問題将在后面討論。

我們搜集并綜合的世界重力資料，可以大大地补充 A. Д. 阿尔汉格尔斯基(Архангельский, 1933)与 P. 莱杰依(Lejay, 1947)根据較少量資料做出来的重力略图。我們搜集到許多觀測点上的数据資料的数量也超过 W. 海斯坎宁 (Heiskanen, 1939) 报告的几倍，而更多于 E. 包瑞斯与 F. 阿凱勒 (Borrass, 1911; Ackerl, 1932)那些初期的报告。

选择資料并編制世界重力图的工作是在莫斯科大学地質系地球物理教研室的协助下，于 1953 年在莫斯科大学地理博物館中开始的，并在 1955 年結束。作者們向 Г. Д. 阿什吉烈 (Ажгирея) 教授与 В. В. 費登斯基(Федынский)教授表示謝意，感謝他們經常地鼓励并协助完成這項最新世界重力資料的報告。

第一章

重力异常与地壳构造

地震学資料与重力測量資料是任何大地构造制图工作中关于地壳深部构造的主要綜合資料。地震方法可以查明根据岩石組成的地层(所謂矽鋁壳)厚度区分出地壳的两种构造：大陆型与大洋型；还可以闡明造山带构造与未經破坏的(洼陷)地台构造的深部差异。根据天然地震与人工爆炸所得的地震記錄，在大陆各处都确定出有所謂“花崗岩层”存在于最上部的沉积岩层之下。此层中縱波传播的速度为 5.5—6.0 公里/秒。下面分布着具有較高地震波传播速度值(6.2—7.5 公里/秒)的中間层。此层时常再划分成具有不同波速的几个分层，而自花崗岩层向中間层的过渡并不总是很显著的。地震学家将中間层假定地称为“玄武岩层”。

这两层(花崗一沉积岩层与中間层或“玄武岩层”)合起来組成現在称为地壳，岩石圈或矽鋁层的外売。一百年前，徐士(Э. Зюсс)为表示富含矽(Si)与鋁(Al)的岩石而引用的名詞“矽鋁”完全适用于組成地壳的沉积岩。花崗岩与玄武岩，也适用于安山岩、閃长岩与正长岩。其实，在玄武岩中，氧化矽与氧化鋁的含量平均为 49% 的 SiO_2 与 15.8% 的 Al_2O_3 ，在安山岩中平均約为 60% 的 SiO_2 与 17% 的 Al_2O_3 ，花崗岩的平均成分为 70% 的 SiO_2 与 14.8% 的 Al_2O_3 (图 2)。

相反，花崗岩一沉积层与中間(玄武岩)层之間并不总是有显著的分界面，而地壳底部界面却总是很明显的；它在大陆区处于 25—80 公里的深度上，并称为莫霍洛維奇界面。在此面之下直接分布着超基性岩成分的物质，它是被称为橄欖岩层或矽镁层的壳下基底。“矽镁”这个名詞是从超基性岩与石質隕石的两个最重要

元素：矽(Si)与镁(Mg)开头的两个字母而来的。

同时，上面两层中地震波速度的最精确的测定，常常发现在不同地区内对其平均值有5—10%的偏差。纵波在壳下基底中的速度比较均一，并且很少出现巨大的偏差。这种情况表明：壳下基底成分具有良好的均匀性。地震波传播速度从莫氏界面向下，一直到地核（即到2900公里的深度）都是逐渐地变化，而且大约直到900—1000公里的深度上才可以看出有物质成分的某种分异作用（马格尼茨基，1953）。然而，一般地说，地震资料证实壳下层（自地核面到莫氏界面）物质较地壳有巨大的均匀性。此地壳范围在垂线上向上为40公里，其中纵波的速度改变28%。

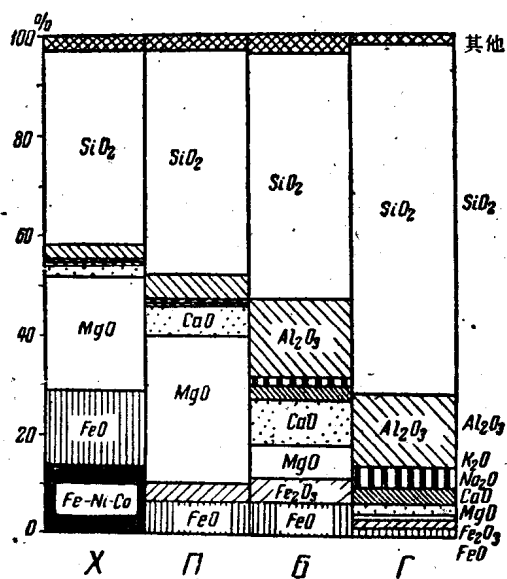


图2 分布最广的喷发岩与陨石的化学成分(重量百分比)

平均成分：X——球粒陨石，即分布最广的石质陨石；B——玄武岩；II——橄榄岩；I——花岗岩；黑色——金属镍铁矿；其它表示矽酸盐中的氧化物。

将根据纵波与横波测定花岗岩层、玄武岩层与橄榄岩层的弹性常数和实验所得的广泛分布的喷发岩性质相比较，完全证实上